

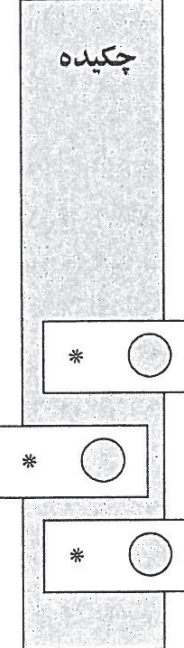
تغییرات مکانی الگوهای توزیع فراوانی

بارش ایران زمین

حسین عساکر^۱

(تاریخ پذیرش نهایی مقاله: ۸۷/۶/۱۶)

در این تحقیق با استفاده از ۹۲۹۴۰ داده بارش ماهانه ایستگاه‌های سینوپتیک و کلیماتولوژی کشور و نیز با بهکارگیری تکنیک‌های آماری-ترسمی و براساس آمارهای نظیر تغییرات میانگین (روند و ضریب تغییرات) و پارامترهای شکل توزیع (چولگی و کشیدگی)، تغییر(پذیری) بارش در بازه آماری ۱۹۶۱-۲۰۰۳ در معرض توصیف و تحلیل قرار گرفت. ویژگی عده این پژوهش علاوه بر تأکید بر تغییر(پذیری)، توجه به مشخصات توزیع فراوانی مشاهدات بارندگی است. در این راستا با استفاده از منطق و ابزار سیستم اطلاعات جغرافیایی (GIS)^۲ دو پنهان بزرگ تغییر(پذیری) در کشور تشخیص داده شد. پنهان نخست بستری با تغییرپذیری زیاد و وسعت کمتر (۱۵/۴٪) و دیگری با تغییرپذیری کمتر و وسعت بیشتر (۲۶/۳٪) هریک ۱۸ زیرگروه را در خود جای می‌داد. با این وصف برخی از این زیرگروه‌ها هیچ ایستگاهی را در خود جای نمی‌داده‌اند.

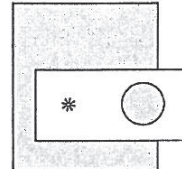


۱- استادیار دانشگاه زنجان.

2. Geographic Information System (GIS)

همچنین ۵۸٪ از وسعت کشور قادر تغییر معنی دار در میزان بارش بوده است.

کلمات کلیدی: تغییر، چولگی، کشیدگی، توزیع فراوانی، بارش.



مقدمه

در بسیاری از مطالعات مربوط به تغییر اقلیم اغلب به تغییرات میانگین (موقعیت دریک توزیع نامتقارن) توجه گردیده و شکل توزیع ثابت درنظر گرفته می‌شود. با این وصف فراوانی نسبی حوادث فرین وابسته به تغییرات پارامترهای شکل توزیع (چولگی و کشیدگی) و انحراف استاندارد و نه صرفاً میانگین است. بنابراین تغییر در متغیر اقلیمی نه تنها شکل توزیع فراوانی بلکه افزایشگی (کشیدگی) و تغییرات آن را نیز متأثر می‌سازد.

شکل و پراکندگی توزیع فراوانی علاوه بر نمایش نحوه توزیع مقادیر فرین، برآورد چگونگی احتمال تغییرات آتی میانگین را امکان پذیر می‌سازد. از این رو جابجایی پارامترهای توزیع می‌تواند الگوی تغییر پذیری را مشخص کند. اخیراً مطالعات متعددی به این ویژگی‌ها معطوف شده است. برای مثال کیتز^۱ (۱۹۹۱)، کیتز و براون^۲ (۱۹۹۲) و میرنس^۳ و همکاران (۱۹۸۴) به این حقیقت توجه داشته‌اند که فراوانی نسبی حوادث فرین بیش از آنچه که به لحاظ میانگین تحت تاثیر قرار گیرند، از انحراف معیار متأثر شده‌اند^[۸] [۹ و ۱۱]. پس از آن محققان بسیاری نظری جوراس^۴ (۱۹۹۴) و روپولوسی و هلپرت^۵ (۱۹۹۶) نیز به توصیف تغییرات با ابزاری نظری بررسی توزیع احتمال پرداختند^[۷ و ۱۲]. در این تحقیق تلاش شده است تا با عنایت به تغییرات میانگین، شکل توزیع فراوانی و ضریب تغییرات بارش، و با استفاده از تکنیک‌های آماری-ترسیمی، تغییرات میانگین بارش سالانه ایران زمین مورد توجه قرار گیرد.

1. Katz

2. Katz and Brown

3. Mearns

4. Juras

5. Ropolewsi and Halpert

داده‌ها و روش‌ها

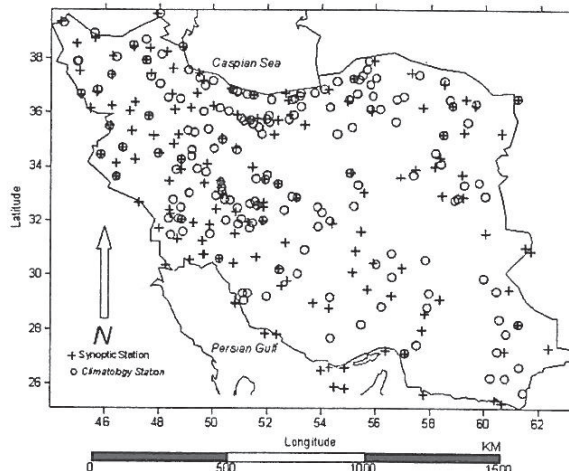
در این تحقیق از بارش ماهانه ژانویه سال ۱۹۶۱ لغاًیت دسامبر ۲۰۰۳ مربوط به ایستگاه‌های هواشناسی کشور (ایستگاه‌های سینوپتیک و کلیماتولوژی) در محدوده ایران زمین بین مختصات زیر استفاده شد:

E: $44^{\circ} 2' - 63^{\circ} 9'$

N: $25^{\circ} 3' - 45^{\circ} 46''$

تعداد ۹۲۹۴۰ داده ماهانه بارش از دوره آماری مزبور جمع آوری شد. داده‌ها از سایت اینترنتی سازمان هواشناسی کشور به آدرس www.irimet.net استخراج گردید و بصورت یک فایل ASCII در کاربرگ نرم افزار Surfer/Win قرار گرفت. این نرم افزار مرجع اصلی تهیه نقشه‌ها و تحلیل‌های ترسیمی است. جهت تحلیل‌های آماری از بسته‌های نرم افزاری MINITAB/Win و SPSS/Win بهره گرفته شد.

موقعیت ایستگاه‌های مورد بررسی در شکل ۱ دیده می‌شود. ایستگاه‌هایی که با علامت بعلاوه مشخص شده‌اند، ایستگاه‌های سینوپتیک و ایستگاه‌هایی که با دایره نشان داده شده‌اند ایستگاه‌های کلیماتولوژی هستند. نطاًی که این دو علامت بر هم منطبق هستند، تغییر ایستگاه از کلیماتولوژی به سینوپتیک طی دوره آماری را نشان می‌دهد.



شکل ۱- توزیع مکانی ایستگاه‌های مورد بررسی

برای تهیه نقشه‌های بارش، یک شبکه مربعی بر کشور برآذش یافته که در آن اندازه یاخته‌ها طوری انتخاب شده که کیفیت و توان تفکیک نقشه را بیان دارد. براساس یافته‌های ارزشمند مسعودیان (۲۰۰۳) حداقل اندازه یاخته‌ها برای نمایش واقعی تر بارش 14×14 کیلومتر است. براساس مطالعات وی، این شبکه بندی حداقل وسعتی است که در آن میانگین شناور به ثبات نسبی می‌رسد. در تحقیق نامبرده، با آزمایش و خطاب و با آزمون پنهانه‌ای حاصل میانگین ایستا از ابعاد 14×14 حاصل می‌شود [۱۰]. بنابراین کشور با شبکه مختصاتی با دامنه طولی ۴۴ تا ۶۴ درجه شرقی و دامنه عرضی ۲۵ تا ۴۰ درجه شمالی پوشانده شد. برای دستیابی به پیکسل‌های 14×14 کیلومتر محور طول‌ها به ۱۵۹ بخش و محور عرض‌ها به ۱۰۱ بخش تقسیم گردید.

تهیه نقشه با آزمون و خطای چند روش ارایه شده در جدول ۱ انجام شد و براساس کمترین خطای استاندارد برآورد شده، روش میان یابی مطلوب اختیار گردید. براین اساس عموماً بهترین روش میان یابی روش کریجینگ بوده است. این روش برای داده‌هایی که پراکنش نامنظم دارند بکار می‌رود و روشی محلی-احتمالی، دقیق، خطی، ناریب و با واریانس کمینه دریک نقطه بشمار می‌آید. میان یابی کریجینگ با شرط احراز صلاحیت‌های اولیه و لازم می‌تواند بهترین میانگین موزون از یک پنهانه را ارایه دهد. در این روش برای هریک از ایستگاه‌های درون و بیرون یک پنهانه بر حسب فاصله و موقعیت آن وزن آماری مشخصی درنظر گرفته می‌شود به گونه‌ای که واریانس تخمین کمینه شود [۵].

جدول ۱- طبقه بندی روش‌های عمدۀ میان یابی [۴]

محلي		کلی	
احتمالی	قطعي	احتمالی	قطعي
کریجینگ(دقیق)	تی سن (دقیق)	رگرسیون (غیردقیق)	سطح روند (دقیق)
برآورد چگالی (غیردقیق)			
عکس مربع فاصله (دقیق)			
Spline (دقیق)			

در روش کریجینگ فرض براین است که تغییرات مکانی پدیده‌هایی مانند بارش در یک گستره، از توزیع تصادفی برخوردار بوده، حاوی سه مولفه همبستگی مکانی، روند و خطای تصادفی است. وجود یا فقدان و نیز نوع هریک از این مولفه‌ها منجر به تکوین انواع

روش‌های کریجینگ شده است. مولفه همبستگی مکانی و میزان آن براساس نیم تغییرنما^۱ تعریف می‌شود. از تحلیل این مولفه و تغییرنما مربوط، ضرایب وزنی نقاط کنترل جهت تخمین ارزش نقطه مجهول بدست می‌آید[۱۳].

پس از آن یاخته‌های خارج از کشور حذف و مجموعاً ۸۰۱۲ سلول داخل کشور باقی ماند. این شبکه بندی مبنای تحلیل‌های بعدی قرار گرفت. سپس با استفاده از عملیات جبر نقشه‌ها، ۶ نقشه به شرح زیر جهت توصیف مشخصات بارش ایران تهیه شد[۲]:

۱- نقشه میانگین سالانه بارش براساس فرمول (۱)

$$\bar{m}\bar{r} = \frac{1}{n} \sum_{i=1961}^{1990} m r_i \quad (1)$$

۲- نقشه انحراف معیار بارش و تهیه نقشه ضریب تغییرات آن براساس فرمول (۲)

$$C.V_m = \frac{sm}{\bar{m}\bar{r}} \times 100 \quad (2)$$

۳- نقشه چولگی بارش براساس فرمول (۳)

$$SK = \frac{\frac{1}{n} \sum_{i=1}^n (mr_i - \bar{m}\bar{r})^r}{sm_x^r} \quad (3)$$

۴- نقشه کشیدگی بارش براساس فرمول (۴)

$$K_u = \frac{\frac{1}{n} \sum_{i=1}^n (mr_i - \bar{m}\bar{r})^f}{sm_x^f} - 3 \quad (4)$$

۵- نقشه تغییرات سالانه بارش براساس فرمول (۵)

$$b_{mr} = \frac{\sum_{i=1961}^{1990} (mr_i - \bar{m}\bar{r})(t_i - \bar{t})}{\sum_{i=1961}^{1990} (t_i - \bar{t})^r} \quad (5)$$

در اینجا mri نقشه بارش سال آم، sm نقشه انحراف معیار دوره آماری، n تعداد سال‌ها و سال t آم است.

کلیه این فرمول‌ها از منابع آماری استخراج شده است. برای مثال به جانسون و باتاچاریا^۱ مراجعه کنید[۶].

۶- نقشه تلفیقی براساس مشخصات تعریف شده که در متن مقاله ارایه می‌شود.

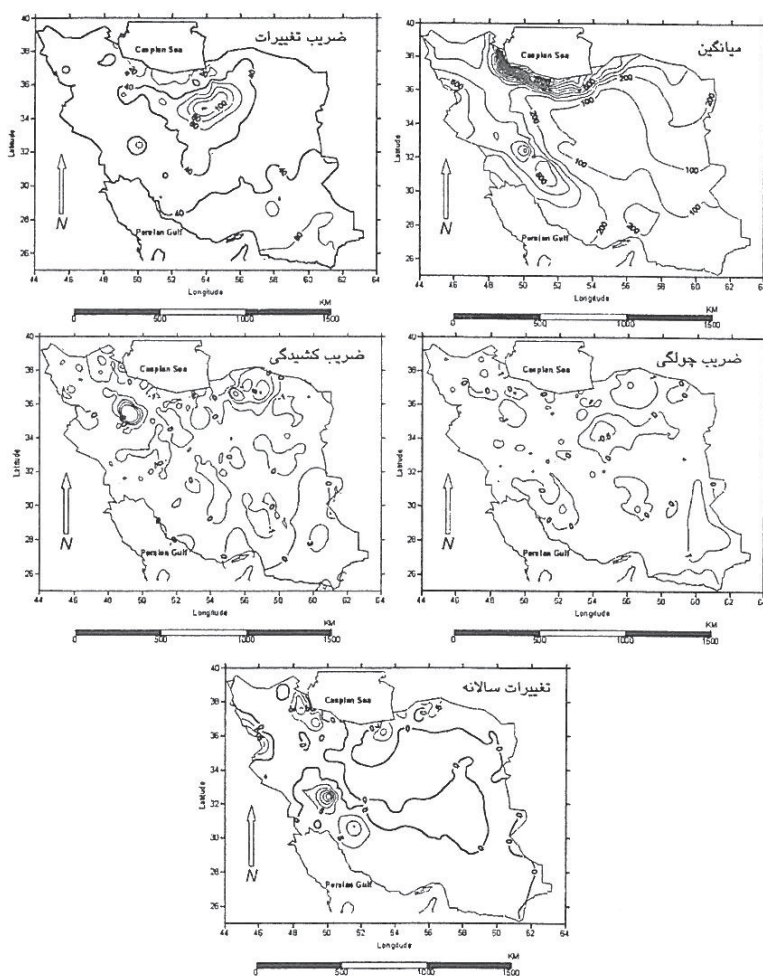
دستاوردها

شکل ۲ نقشه‌های تولید شده براساس فرمول‌های (۱) تا (۵) را نشان می‌دهد. نقشه توزیع مکانی میانگین بارش ایران زمین از بکارگیری فرمول (۱) بر نقشه‌های مورد بررسی حاصل شده است. میانگین بارندگی سالانه کشور طی دوره آماری مورد بررسی حدود ۲۴۴/۷ با انحراف معیار (۵) ۱۹۶/۷ میلیمتر است. روند عمومی کاهش میزان بارندگی از غرب به شرق و شمال به جنوب می‌باشد. این وضعیت به دلیل تاثیر متفاوت سیستم‌های باران‌زا در نقاط مختلف و نیز نقش مختلف ارتفاعات در تولید و تشدید بارش است. از این رو تراکم خطوط هم باران به موازات ارتفاعات در غرب و بویژه بخش وسیعی در شمال کشور به خوبی مشخص می‌باشد. حداقل و حداکثر بارش سالانه ۳۷/۵ و ۱۸۶۰/۴ میلیمتر است.

معمولًا فقر باران با تغییرپذیری شدید توام بوده که برای کشاورزی موفق، عامل نامطمئنی به شمار می‌آید. جهت برآورد تغییرپذیری بارندگی از نسبت نقشه انحراف معیار به نقشه میانگین استفاده شد (فرمول ۲). تغییرپذیری بارندگی معرف میزان انحراف از میانگین بوده، تصویری از رژیم بارندگی و میزان پایداری آن بدست می‌دهد. چنانکه رامشت (۱۳۷۵) نشان داده است عدد ۴۰ برای این شاخص محور تعیین کننده‌ای است. بدین نحو که اگر مقدار $CV < 40$ باشد بارندگی منظم و هرچه این مقدار از ۴۰ بیشتر باشد دال بر بی نظمی حدوث بارندگی است[۱]. نقشه توزیع مکانی ضریب تغییرات بارش گویای بی نظمی بارش در بخش وسیعی از کشور است. میانگین تغییرپذیری مکانی بارش حدود ۸۰/۴٪ است. به بیان دیگر تفاوت‌های مکانی بارش زیاد است. بطوری که پهنه‌های پرباران بویژه در مجاورت نواحی کوهستانی در همسایگی نواحی کم باران قرار گرفته است. با این وصف وسعت پهنه‌های کم بارش بسیار بیشتر از وسعت پهنه‌های پربارش است. بارش حدود ۶۲/۶٪ از کشور کمتر از میانگین است. این امر به واسطه فزونی مکانیزم‌های

بازدارنده صعود است [۳].

ضرایب چولگی و کشیدگی از عمدۀ ترین توصیف گرهای شکل و مقیاس توزیع بشمار می‌آیند. این دو ضریب به ترتیب انحراف توزیع از یک توزیع متقارن و کشیدگی-افراشتگی آن را نسبت به یک توزیع متقارن بیان می‌دارند.



شکل ۲- مشخصات توصیفی بارش ایران زمین طی دوره آماری ۱۹۶۱-۱۹۰۳

در یک تعریف ساده و براساس فراوانی و قوع رویدادها هر گاه تعداد داده‌های بالاتر از میانگین بیش از تعداد داده‌های پایین تر از میانگین باشد و یا برعکس هر گاه تعداد داده‌های پایین تر از میانگین بیش از تعداد داده‌های بالاتر از میانگین باشد، داده‌ها چوله خواهد بود و اگر این دو برابر باشند داده‌ها را متقارن گویند. حالت اول را چوله به چپ، حالت دوم را چوله به راست و حالت سوم را توزیع نرمال می‌گویند. در واقع چولگی، میزان انحراف داده‌ها را به یک حاشیه نسبت به میانگین نشان می‌دهد. به عبارت دیگر توزیعی چوله نامیده می‌شود که فراوانی‌ها در اطراف میانگین قرینه نباشد. توزیع فراوانی داده‌های بارش در مقیاس زمانی-مکانی شکل‌های مختلفی از شکل توانی تا چوله به راست یا نزدیک به شکل متقارن را نشان می‌دهد. این ویژگی به دلیل تغییرپذیری قابل توجه بارش در بعد زمان و مکان است. در نواحی که میزان بارندگی زیاد است، میانگین بیشترین فراوانی را دارا بوده و به توزیع نرمال نزدیک خواهد بود[۷ و ۱۴]. ارایه مشخصات ترسیمی نظری هیستوگرام (بافتگار) روشی رایج و عمده در بیان شکل توزیع فراوانی است. اما هنگامی که هدف تحلیل زمانی-مکانی و آن نیز در بازه بزرگی باشد، بهترین روش ارایه ویژگی‌های آماری توزیع و ترسیم پهنای آنها است. در این خصوص بکارگیری عملیات جبر نقشه‌ها براساس تکنیک‌های زمین آماری نتایج واضح تر و قابل قبول تری را نمایش می‌دهد. ردیف دوم شکل ۲ نقشه توزیع مکانی چولگی بارش را نشان می‌دهد. میزان بارش سالانه کم و تغییرپذیری زیاد آن در نواحی خشک، موجب نامتقارن شدن شکل توزیع فراوانی بارش سالانه و کشیدگی زیاد آن به سمت راست شده است. ارزش‌های ارایه شده در این نقشه سه حالت صفر، منفی یا مثبت می‌باشد. در حالت صفر داده‌ها از توزیع متقارن برخوردارند. در واقع ضریب چولگی برای یک توزیع قرینه معادل صفر است. چولگی منفی به مفهوم آن است که دنباله توزیع به طرف $-\infty$ است. یعنی تعداد داده‌های بالاتر از میانگین بیش از تعداد داده‌های پایین تر از میانگین خواهد بود. چولگی مثبت بیانگر این است که دنباله یک توزیع به طرف $+\infty$ است یعنی تعداد داده‌های پایین تر از میانگین بیش از تعداد داده‌های بالاتر از میانگین خواهد بود. بزرگی مقدار حاصل از این فرمول میزان میزان انحراف از قرینگی را نشان می‌دهد. برخلاف انتظار طی دوره آماری برخی نواحی خشک، نظری کویر بزرگ ایران چولگی منفی را تجربه نموده‌اند. همچنین در مجاورت این نواحی یعنی در شمال خراسان، چولگی مثبت گویای فزوونی بارش‌های با مقدار کم نسبت به بارش‌های با مقدار

زیاد است. این وضعیت در بخش‌های محدودی از اردبیل نیز دیده می‌شود.

مشخصه «کشیدگی»^۱ در واقع مقدار افراشتگی (بلندی) توزیع است و گویای توزیع مشاهدات نسبت به توزیع نرمال و برای بیان تخت یا مرتفع بودن منحنی توزیع بکارمی رود. اگر داده‌ها نسبت به توزیع نرمال پراکنده تر باشند توزیع کشیده تر (کشیدگی منفی) و اگر کمتر باشند توزیع متقارن‌تر (کشیدگی مثبت) است. کشیدگی‌های نرمال صفر است. در توزیع کشیده فراوانی بارش‌های با فراوانی کم افزون تر و مشاهدات تغییرات کمی را در اطراف میانگین تجربه کرده‌اند ولی توزیع افراسته گویای تمرکز و نیز فزونی فراوانی‌ها در یک دامنه مشخص هستند. هرچه قدر مطلق ضریب کشیدگی بیشتر باشد، تفاوت توزیع از نظر پراکنده‌گی با توزیع نرمال بیشتر خواهد بود.

رابطه بارش با زمان در $51/4\%$ از مساحت کشور معنی دار و در بقیه کشور فاقد معنی آماری و فیزیکی است. براساس روند بلندمدت بارش سه ناحیه می‌توان تشخیص داد. نواحی فاقد تغییر حدود $48/6\%$ از مساحت کل کشور را در بر می‌گیرد. نواحی با تغییرات مثبت که گویای افزایش بارندگی طی دوره آماری است، حدود $30/8\%$ کشور را شامل می‌شوند. نواحی با تغییرات منفی که گویای کاهش بارندگی طی دوره آماری مورد بررسی هستند $20/6\%$ از مساحت کشور را در بر می‌گیرند. بنابراین نزدیک به نیمی از ایران زمین در عین افت و خیز بارش فاقد روند معنی دار و حدود یک سوم از مساحت کشور را با روند افزایشی بارندگی می‌توان دید.

میانگین تغییرات بارش سالانه به ازای هر سال و برای هر سلوول 14×14 کیلومتر در سراسر ایران محاسبه شد. به منظور تصویر تغییرات تدریجی، خطی راست از روش حداقل مربعات رگرسیون بارش (m_r) بر زمان (t) از میان داده‌ها برآش نیافرید. این خط متوسط تغییر به ازای هر سال را نشان می‌دهد که در پایین ترین نقشه شکل ۲ ارایه شده است. میزان تغییرات $29/6$ تا $15/7$ - میلیمتر در سال بوده است. چنانکه واضح است قدر مطلق تغییرات مثبت (افزایشی) بیش از قدر مطلق تغییرات منفی (کاهشی) بوده است. بیشترین افزایش بارش در منطقه کوهزنگ رخ داده است با این وصف مساحتی که تحت تاثیر این میزان افزایش بارش بوده درصد کوچکی از پهنه کشور را در بر می‌گیرد. بیشترین کاهش

بارندگی مربوط به پنهانی بین اردبیل و خلخال است.

می‌توان به خوبی دریافت که بیشترین تغییرات افزایشی در امتداد نواحی کوهستانی رخ داده است. در یک تقسیم‌بندی کلی بیشترین روند بارش طی چهار دهه اخیر در امتداد کوه‌های زاگرس، البرز (شرقی و غربی)، کوه‌های شمال خراسان و کوه‌های مرکزی ایران رخ داده است.

تلفیق یافته‌ها و نتیجه گیری

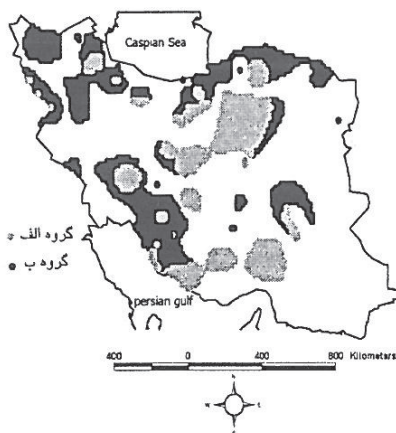
با استفاده از نقشه‌های تولید شده ابتدا دو گروه بزرگ یعنی نواحی دارای ضریب تغییرات بیش از 40% و کمتر از 40% ایجاد شد. سپس هریک از آمارهای حاصل شده در این دو گروه بزرگ به لحاظ معنی دار بودن آماری در سطح 95% اطمینان مورد آزمون قرار گرفتند. یعنی برای هریک از مشخصه‌های ضریب چولگی، ضریب کشیدگی و نیز مقدار تغییرات دو گروه خصیصه تشکیل شد. یک گروه خصیصه‌ایی که به لحاظ آماری فاقد معنی فیزیکی هستند، مقادیر مربوط به این خصیصه‌ها صفر در نظر گرفته شد. گروه دیگر خصیصه‌هایی را در بر می‌گرفت که به لحاظ آماری معنی دار بودند. این خصیصه‌ها نیز به دو بخش مثبت و منفی تقسیم شدند. درنهایت با استفاده از نرم افزار سیستم اطلاعات جغرافیایی (ArcView)، با استفاده از تکنیک پرسشگری (Query) و براساس قوانین شمارش و منطق برهم نهشت نقشه‌ها تمامی حالت‌های ممکن از چولگی، کشیدگی و تغییراتی که به لحاظ آماری معنی دار یا بی معنی بوده ایجاد گردید. بنابراین دو گروه بزرگ که هریک حاوی 18 زیرگروه بود ایجاد شد. مشخصات این تقسیمات در جدول ۲ آرایه شده است.

برای مثال در این جدول گروه (الف) برای تمامی نواحی است که ضریب تغییرات بارش آنها کمتر از 40% است. و زیرگروه ۱ که در آن روند بارش افزایشی، چولگی و کشیدگی مثبت است، بر روی نقشه حدود 40% از یاخته‌های نقشه پنهانه کشور و از 22% از یاخته‌های گروه (الف) را در بر می‌گیرد، اما هیچ ایستگاه اندازه گیری در این محدوده وجود ندارد. این وضعیت را می‌توان در مورد بخش‌های دیگر گروه‌های تغییرپذیر نیز مشاهده نمود. استبطان می‌شود که این پنهانه‌ها حاصل میان سنجی داده‌های ایستگاه‌های مجاور است. توضیح اینکه ارزش‌های حاصل از میان یابی بین دو ایستگاه با روندی

مشخص و خاص حرکت نموده و می‌تواند پنهانی با مشخصات متفاوت از ایستگاه‌های مجاور ایجاد کند. از این رو ممکن است پنهانی با مشخصات خاص ایجاد شود بدون آنکه ایستگاهی در آن پنهان وجود داشته باشد. زیرگروه ۲ از این گروه که ایستگاه‌های کوهرنگ، سردشت و پیرانشهر را در بر می‌گیرد با افزایش بارش، فزونی تواتر بارش‌های کمتر از میانگین و کشیدگی مقادیر نسبت به توزیع نرمال مشخص می‌شود. بقیه زیرگروه‌ها نیز به همین منوال قابل تغییر هستند.

شکل ۳ نقشه پراکندگی دو گروه (الف) و (ب) را برای کل کشور نشان می‌دهد. قسمت سفید این نقشه گویای ایستایی مشخصه‌های بارش در این مناطق از کشور است. در این بخش بارش هیچ تغییر معنی داری نداشته و در هیچیک از گروه‌های (الف) و (ب) جای نمی‌گیرد.

مجموعاً حدود ۴۱/۷٪ از مساحت کشور متتحمل تغییر شده است. از این مقدار ۱۵/۴٪ مساحت در گروه (الف) و ۲۶/۳٪ در گروه (ب) قرار دارد. بنابراین نواحی که ضریب تغییرات بالای داشته‌اند، به میزان کمتری تغییرات بلندمدت را تجربه نموده‌اند. در حالیکه نواحی که تغییرپذیری کمتری داشته‌اند با تغییرات بلندمدت بیشتری مواجه شده‌اند. این واقعیت تعبیری گویا از روند آرام بارش در کشور است. همچنین چنانکه در شکل ۳ ملاحظه می‌شود، علیرغم مجاورت نواحی (الف) و (ب) در بسیاری نواحی، گروه (الف) از تمرکز بیشتری در مرکز و جنوب ایران برخوردار است.



شکل ۳- دو گروه بزرگ تغییرپذیری بارش در کشور. (گروه (الف) با ضریب تغییرات بالا، گروه (ب) با ضریب تغییرات پایین و بخش سفید رنگ فاقد تغییر معنی دار برای توضیحات بیشتر به متن مقاله مراجعه شود.)

جدول ۲- گروه‌های تغییر(پذیری) بارش سالانه ایران براساس حالات مختلف آمارهای توصیفی

ایستگاه‌های موجود در پهنه	درصد مساحت از		کشیدگی	چولگی	رونده بارش	شماره زیرگروه	گروه
	گروه	کل کشور					
-	۰/۴	۲/۸	مشتبه	مشتبه	مشتبه	۱	
کوهرنگ-سردشت-پیرانشهر	۰/۶	۳/۷	منفی	مشتبه	مشتبه	۲	
-	۰/۲	۱/۱	منفی	منفی	مشتبه	۳	
منجیل	۰	۰/۲	منفی	منفی	منفی	۴	
-	۰	۰	مشتبه	منفی	مشتبه	۵	
سمنان	۰/۷	۴/۶	مشتبه	مشتبه	منفی	۶	
-	۰	۰	منفی	مشتبه	منفی	۷	
-	۰	۰	مشتبه	منفی	منفی	۸	
-	۰	۰	مشتبه	صفر	مشتبه	۹	
ایذه-نظرن-خوروبیانک-بافت	۴/۳	۲۸/۱	منفی	صفر	مشتبه	۱۰	
داراب-اردستان	۶/۲	۴۰/۵	صفر	صفر	مشتبه	۱۱	
-	۱/۲	۸	صفر	مشتبه	مشتبه	۱۲	
-	۱/۴	۲/۴	صفر	منفی	مشتبه	۱۳	
-	۰	۰	مشتبه	صفر	منفی	۱۴	
-	۰	۰	منفی	صفر	منفی	۱۵	
-	۰/۵	۳	صفر	صفر	منفی	۱۶	
-	۰	۰	منفی	صفر	منفی	۱۷	
آباده-خلخال	۰/۹	۵/۸	صفر	مشتبه	منفی	۱۸	
داران	۰/۲	۰/۶	مشتبه	مشتبه	مشتبه	۱	
-	۰/۲	۰/۶	منفی	مشتبه	مشتبه	۲	
-	۰	۰	منفی	مشتبه	مشتبه	۳	
-	۰	۰	منفی	مشتبه	منفی	۴	
-	۰	۰	مشتبه	منفی	منفی	۵	
بحتورد-سروان-تبه	۱/۷	۶/۶	مشتبه	مشتبه	منفی	۶	
-	۰/۰۷	۰/۳	منفی	مشتبه	منفی	۷	
-	۰	۰	منفی	مشتبه	منفی	۸	
-	۰/۱	۰/۲	مشتبه	صفر	مشتبه	۹	
سردشت-لردگان-دوگنبدان-سد درودزن	۴/۷	۱۷/۸	منفی	صفر	مشتبه	۱۰	
مسجدسلیمان	۶/۷	۲۵/۵	صفر	صفر	مشتبه	۱۱	
-	۰/۷	۲/۵	صفر	مشتبه	مشتبه	۱۲	
-	۰	۰	منفی	مشتبه	مشتبه	۱۳	
زنجان	۰/۰۲	۰/۱	مشتبه	صفر	منفی	۱۴	
خوی-جلفا-تکاب-سبزوار-فیروزکوه	۳/۷	۱۴/۱	منفی	صفر	منفی	۱۵	
قزوین-گرمسار	۳	۱۱/۳	صفر	صفر	منفی	۱۶	
تبریز-اردabil-کرج-گرگان	۴/۲	۱۵/۹	صفر	صفر	منفی	۱۷	
بروجن	۱/۲	۴/۶	صفر	مشتبه	منفی	۱۸	

آزاد (آزاد تغییرات بهتر از ۴٪)

(فرموده تغییرات کمتر از ۴٪)

سپاسگزاری

این تحقیق بخشی از پروژه مشترک سازمان هواشناسی کشور و دانشگاه زنجان در قالب طرح ۱۰۲ و با عنوان «تعیین ایستگاه‌های سینوپتیک معرف تغییرات بارش ایران» است. بدینوسیله مراتب سپاس خود را به خاطر حمایت مالی این پروژه اعلام می‌دارد.

منابع

- ۱- رامشت، م. ح.، ۱۳۷۵، کاربرد ژئومورفولوژی در برنامه ریزی، اصفهان، انتشارات دانشگاه اصفهان.
- ۲- عساکره، ح.، ۱۳۸۶، تغییرات زمانی-مکانی بارش ایران زمین طی دهه‌های اخیر، مجله جغرافیا و توسعه، سال پنجم، شماره ۱۰، صص ۱۴۵-۱۶۴.
- ۳- علیجانی، ب.، ۱۳۷۴، آب و هوای ایران، انتشارات پیام نور تهران.
- 4- Collins, F.C. and P.V. Bolstad, 1996, A Comparison of Spatial Interpolation Techniques in Temperature Estimation, In: Proceedings of the Third International Conference/Workshop on Integrating GIS and Environmental Modeling, Santa Fe, New Mexico.
- 5- Isaaks E.H. and Srinivasta R.M., 1989, Applied Geostatistics, Oxford University Press: Oxford.
- 6- Johnson, Richard, A and Bhattacharyya, Gouri, K., 2006, Statistics: Principles and Methods, John Wiley & Sons, INC., U.S.A.
- 7- Juras, J., 1994, Some Common Features of Probability Distributions for Precipitation, Theor. Appl. Climatol, 49, 69-76.
- 8- Katz, R.W., 1991, Towards a Statistical Paradigm for Climate Change, 7th Conference on Applied Climatology, American Meteorological Society, Boston.
- 9- Katz, R.W., Brown, B.G., 1992, Extreme Events in a Changing Climate Variability is More Important than Average, Climate Change, 21(3), 281-301.
- 10- Masoodian, A., 2003, On Precipitation Mapping in Iran, EGS-AGU-EUG Joint Assembly, Nice, France, 6-11 April 2003, Available on www.ui.ac.ir/red/RCGSSS.
- 11- Mearns, L.O., Katz, R.W. and Schneider, S.H., 1984, Extreme High Temperature Events: Changes in Their Probabilities with Changes in Mean Temperature, J. Climate Appl. Meteor., 23, 1601-1613.
- 12- Repelewski, C.F. and Halpert, M.C., 1996, Quantifying Southern Oscillation

- Precipitation Relationships, J. Climate, 9, 1043-1059.
- 13- Tabios, G.Q. and J.D., Salas, 1985, A Comparative Analysis of Techniques for Spatial Interpolation of Precipitation, Water Resources Bulletin 21:365-380.
- 14- Vinnikov, K.Ya., Groisman, P.Ya. and Lugina, K.M., 1990, Empirical Data on Contemporary Golobal Climate Change (Temperature and Precipitation), J. Climate. 3, 662-677.